

## SUSZENIE ZIARNA JĘCZMIENIA W SUSZARCE KOMOROWO-DASZKOWEJ

Stanisław Peroń, Zbigniew Zdrojewski, Mariusz Surma  
*Instytut Inżynierii Rolniczej, Uniwersytet Przyrodniczy we Wrocławiu*

**Streszczenie.** Przeprowadzono doświadczenie nad suszeniem ziarna jęczmienia browarnego odmiany „Scarlet w suszarce daszkowej - kompaktowej typu M856/1 S311P firmy „Araj”. Wyniki badań przedstawiono na wykresach oraz tabelarycznie.

**Slowa kluczowe:** ziarno jęczmienia, suszenie, suszarka daszkowa

### Wprowadzenie i cel badań

Większość producentów suszarek komorowo-daszkowych do suszenia ziarna zbóż charakteryzuje parametry ich pracy najczęściej dla trzech rodzajów ziarna tj. pszenicy, kukurydzy i rzepaku [Polak 2004]. Istnieje natomiast niedosyt informacji odnośnie suszenia ziarna jęczmienia w tych suszarkach.

Celem pracy było określenie dla ziarna jęczmienia:

- wydajności suszarki w suszu oraz odparowanej wodzie,
- jednostkowego zużycia ciepła oraz sprawności zestawu piec-suszarka.

### Warunki i metodyka badań

Badania przeprowadzono w sierpniu 2005 r. na obiekcie wyposażonym w suszarkę M856/1 S311P firmy „Araj”(rys. 1). Surowiec stanowiło ziarno jęczmienia browarnego odmiany „Scarlet”.

Suszarka składa się z następujących elementów:

- segment zasypowy – posiada centralny daszek, zamkający od góry kanał ciepliego powietrza. Daszek ten ma za zadanie skierować strugę zasypywanego ziarna do dwóch komór suszących. Zewnętrzna pokrywą części zasypowej stanowi dach zamkający całość. W górnej części dachu znajduje się otwór wlotowy ziarna, a w bocznej właz rewidacyjny oraz elektroniczny czujnik poziomu napełnienia suszarni,
- część susząca – to zestaw segmentów, które ustalone jeden na drugim tworzą kolumnę, a w niej centralną komorę, do której dostarczane jest ogrzane powietrze, dwie komory suszące, w których znajduje się suszone ziarno, dwie zewnętrzne wąskie izolujące komory, którymi wilgotne i schłodzone powietrze wydmuchiwanie jest na zewnątrz Na poziomie suszącym zainstalowano wywietrzniki regulacyjne,

- segment wybierający – stanowi konstrukcję nośną suszarni. W jego skład wchodzą płaszczyzny zasypowe tworzące lej wysypowy. W segmencie pod komorami z ziarnem znajduje się układ lopatek wygarniających napędzany motoreduktorem sterowanym elektronicznym układem czasowym,
- piec grzewczy zbudowany jest z trzech głównych podzespołów: korpusu pieca, palnika olejowego i układu sterowania.



Źródło: materiały reklamowe firmy Araj

Rys. 1. Suszarka firmy M856/1 S311P

Fig. 1. Drier manufactured by M856/1 S311P (source: Araj company folder)

W trakcie badań mierzono :

- wilgotność wzgledną i temperaturę powietrza w pobliże suszarki - psychrometrem Assmana z dokładnością  $\pm 2\%$  oraz termometrem rtęciowym ( $\pm 0,2^\circ\text{C}$ ),
- temperaturę ziarna, w okresowo pobieranych próbach - termometrem rtęciowym z dokładnością  $\pm 0,5^\circ\text{C}$ ,
- temperaturę powietrza suszącego na wlocie do suszarki (odczytywano na podstawie wskazań urządzenia pomiarowego suszarki ( $\pm 1^\circ\text{C}$ )). Temperaturę powietrza na wylocie z daszków mierzono termometrem rtęciowym ( $\pm 0,5^\circ$ ),
- wilgotność ziarna początkową, w trakcie suszenia i końcową miernikiem typu ASONIK Super CHTM 2,

## Suszenie ziarna jęczmienia...

- prędkość przepływu czynnika suszącego i chłodzącego w dwóch kanałach dolotowych suszarki anemometrem skrzydełkowym typu EA 2113 z dokładnością  $\pm 0,1 \text{ m/s}$ ,
- czas pracy suszarki stoperem elektronicznym,
- masę ziarna podanego do suszarki (określono na wadze wozowej ( $\pm 10 \text{ kg}$ )).  
Wydajność suszarki obliczano na podstawie wilgotności początkowej i końcowej ziarna. Zużycie paliwa odczytywano na podstawie wskazań przepływomierza.

Zużycie ciepła obliczono na podstawie znajomości masy spalonego paliwa. Sprawność suszarki łącznie z piecem obliczano z zależności:

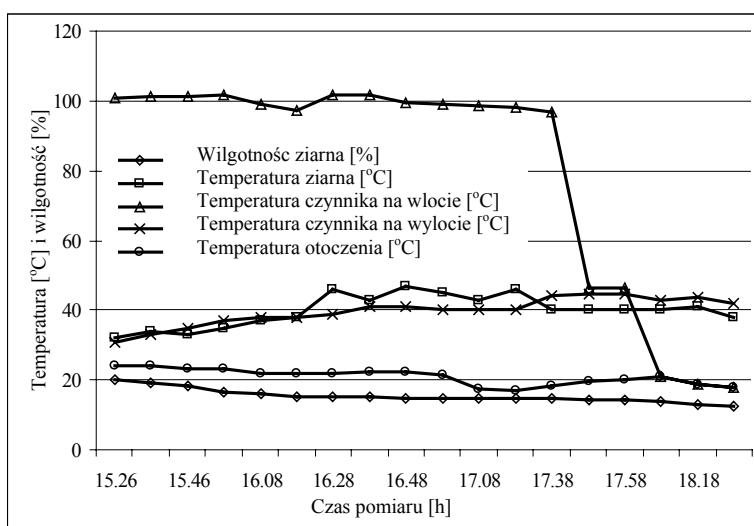
$$\eta = \frac{Q_w}{Q_d} \quad (1)$$

gdzie:

- $Q_w$  – oznacza utajone ciepło parowania wody przyjęte jako  $2500 \text{ kJ kg}^{-1} \text{ H}_2\text{O}$ ,  
 $Q_d$  – ciepło dostarczone przez piec – obliczone na podstawie zużytego paliwa w odniesieniu do 1 kg odparowanej wody

## Wyniki badań

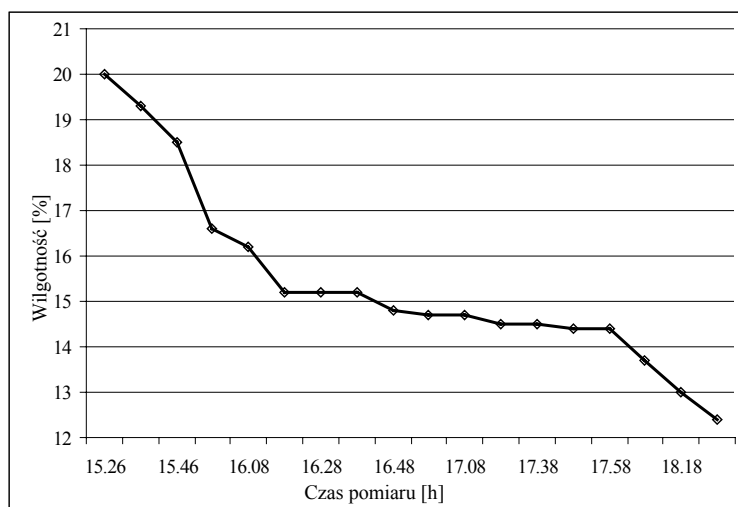
Badanie przeprowadzono w 3-ch seriach pomiarowych (I, II, III) od 6 do 10 sierpnia 2006 r. Na rysunku 2 przedstawiono przykładowo przebieg zmian: temperatury i wilgotności względnej otoczenia suszarki, temperatury czynnika suszącego na wlocie i wylocie z suszarki oraz temperatury i wilgotności suszonego ziarna w dniu 10.08.2006.



Rys. 2. Zmiany wybranych parametrów podczas suszenia ziarna jęczmienia  
Fig. 2. Changes of chosen parameters during drying of barley grain

Po napełnieniu ziarnem i nagrzaniu suszarki rozpoczęto o godz. 15.26 suszenie jęczmienia. Proces suszenia trwał do godz. 17.48. Następnie rozpoczęło się chłodzenie wsadu ziarna trwające do 18.28. Wydatek powietrza suszącego wynosił ok.  $12\ 700 \text{ m}^3 \cdot \text{h}^{-1}$ . W trakcie suszenia wilgotność ziarna jęczmienia uległa obniżeniu od  $w_1=20\%$  do  $w_2=12,1\%$ , przy równoczesnym wzroście jego temperatury od  $32^\circ\text{C}$  do  $46^\circ\text{C}$ . Wilgotność względna powietrza na wlocie do suszarki przekraczała w tym czasie 60%. Temperatura powietrza na wlocie była bliska  $100^\circ\text{C}$  ( $97\text{--}101,7^\circ\text{C}$ ), natomiast na wylocie z komory suszenia oscylowała (w czasie pracy pieca) w granicach  $33\text{--}44,5^\circ\text{C}$ . Temperatura otoczenia kształtała się na poziomie ok.  $22^\circ\text{C}$ . Ziarno chłodzono do temperatury ok.  $38^\circ\text{C}$ .

Dokładniej zmiany wilgotności suszonego ziarna jęczmienia w trakcie doświadczenia w dniu 10 sierpnia pokazuje rysunek 3.



Rys. 3. Zmiany wilgotności ziarna jęczmienia podczas jego suszenia  
Fig. 3. Changes of humidity during drying of barley grain

Średnie wartości wybranych parametrów charakteryzujących pracę suszarki w doświadczeniach I, II, III przedstawiono w tabeli 1.

Jak wynika z tabeli masa mokrego surowca jakim wypełniono komorę suszenia różniła się w poszczególnych okresach pracy i wynosiła od 16,5 tony do 18,7 tony. Również wilgotność względna otoczenia, jego temperatura oraz wilgotność początkowa ziarna w poszczególnych dniach różniła się, czasem nawet dość znacznie. Pomimo stabilnej temperatury na wlocie do suszarni wynoszącej ok.  $100^\circ\text{C}$ , wilgotność końcowa suszu wała się od 12 do 14%, przy wydajności suszarki w przeliczeniu na suchy materiał od 4 do  $6,9 \text{ t h}^{-1}$ . Wydajność w odparowanej wodzie wała się w granicach  $0,4\text{--}043 \text{ t H}_2\text{O h}^{-1}$ . Najwyższą sprawność suszarki jako całego obiektu (ok. 74%) uzyskano w doświadczeniu II przy wypełnieniu komory ziarnem wynoszącym ok. 18 t, wilgotności początkowej ziarna ok. 21%, końcowej 13%. Prawdopodobnie oprócz korzystnych warunków otoczenia w tym dniu

## Suszenie ziarna jęczmienia...

(wilgotność względna otoczenia ok. 60% i średnia temperatura powietrza ok. 19,5°C) na przebieg pracy suszarki miały wpływ dość szeroki przedział zmian wilgotności ziarna (21–13%) oraz stosunkowo długi (w porównaniu z doświadczeniem I i III) czas stabilnej pracy aparatu wynoszący ok. 4 godz. Jak wiadomo, im wyższa początkowa zawartość wody w materiale, tym niższe jednostkowe zużycie energii na odparowanie 1kg wody. Również odpowiednio dłuża stabilna praca aparatu umożliwia lepsze wykorzystanie ciepła. Tak wysoka sprawność zestawu piec-suszarka jest zbliżona do sprawności znamionowej podanej przez producenta w instrukcji obsługi.

Tabela 1 Zestawienie wybranych parametrów pracy suszarki  
Table 2. List of selected drier work parameters

Wybrane wskaźniki	Jednostki miary	Badanie Nr I	Badanie Nr III	Badanie Nr III
Masa mokrego ziarna	t	18,7	17,7	16,5
Wilgotność względna otoczenia	%	86%	60%	60%
Czas suszenia	h	2,57	3,97	3,23
Temperatura czynnika suszającego na wlocie do suszarki	°C	98	100	99
Temperatura czynnika suszającego na wylotie z suszarki	°C	38,5	35	39,7
Temperatura maksymalnego nagrzania ziarna	°C	46	36	47
Temperatura otoczenia	°C	16,5	19,5	22,5
Wilgotność ziarna przed suszeniem	%	18,8	20,8	19,5
Wilgotność ziarna po suszeniu	%	14,1	13,1	12,1
Wydajność suszarki (suchy materiał)	t·h <sup>-1</sup>	6,878	4,063	4,675
Wydajność w odparowanej wodzie	kg H <sub>2</sub> O·h <sup>-1</sup>	398	395	433
Zużycie ciepła na 1 kg odparowanej wody	kJ·kg <sup>-1</sup> H <sub>2</sub> O	5922	3360	4080
Sprawność obiektu	%	48	74	61

Źródło: obliczenia własne

Najniższą, (chociaż traktowaną przez praktykę suszarniczą jako dopuszczalną) sprawność cieplną uzyskano w doświadczeniu I. Wynosiła ona ok. 48%. Przedział zmian wilgotności w trakcie doświadczenia I był zawężony w stosunku do doświadczenia II i przebiegał w zakresie 18,8–14,1%. Również czas stabilnej pracy suszarki w trakcie doświadczenia I był najkrótszy i wynosił ok. 2,5 godz. – co mogło wpływać na gorsze wykorzystanie ciepła przez suszony surowiec.

W doświadczeniu nr III (przedział zmian wilgotności 19,5–12,1%) czas stabilnej pracy suszarki wynosił ok. 3,23 godz., a sprawność całego obiektu wynosiła 61%.

Należy podkreślić, że badania wykonano w warunkach eksploatacyjnych uzależnionych od pogody i użytkownika. Stąd ograniczony zakres badań nie dawał możliwości pełnej oceny suszarki, a badania należy traktować jako zawężone.

## **Wnioski**

1. Zawężenie przedziału zmian zawartości wody w trakcie suszenia od 21-13% do 18,8-14,1% skutkowało obniżeniem sprawności cieplnej obiektu suszarniczego o ok. 30%.
2. Zwiększenie wypełnienia komory suszarki ziarnem od 16,5 do 18,7t spowodowało zwiększenie wydajności suszarki w suszu od ok.  $4\text{t}\cdot\text{h}^{-1}$  do  $6,8\text{t}\cdot\text{h}^{-1}$ .

## **Bibliografia**

**Polak T.** 1999. Czym wydajnie wysuszyć. Top Agrar Polska. Nr. 5. s. 11-13.

## **BARLEY GRAIN DRYING IN A CHAMBER-ROOF DRIER**

**Abstract.** The scope of the research included an experiment involving drying of the “Scarlet” variety brewery barley grain in a compact roof drier, M856/1 S311P type, manufactured by “Araj”. The research results are shown on diagrams and in charts.

**Key words:** barley grain, drying, mixed flow dryer

**Adres do korespondencji:**

Stanisław Peroń; e-mail: stanislaw.peron@up.wroc.pl  
Instytut Inżynierii Rolniczej  
Uniwersytet Przyrodniczy we Wrocławiu  
ul Chełmińskiego 37/41  
51-630 Wrocław